

Теоретическая механика

УДК 539.9

Кручение многослойного призматического анизотропного стержня, составленного из ортотропных материалов

А. У. Нурымбетов*Кафедра механики машин и механизмов**МАТИ — Российский государственный технологический университет им. К.Э. Циолковского**Россия, 117513, Москва, ул. Оршанская, 3*

Проведено исследование особенности распределения напряжений и перемещений в отдельных слоях многослойного анизотропного стержня. Полученные результаты позволяют оценить работоспособность слоистой конструкции при кручении.

Ключевые слова: кручение; анизотропный ортотропный слоистый стержень.

1. Введение

Известно, что отыскание точного решения задачи о кручении анизотропных слоистых стержней произвольной формы поперечного сечения сопряжено с большими математическими трудностями.

В работах [1–3] изложены общие методы решения задач о кручении составных стержней, приведены решения ряда конкретных задач и дана обширная библиография. В [1] решена задача о кручении многослойного стержня, составленного из изотропных материалов, а в [2, 3] — из ортотропных материалов для прямоугольного сечения. При решении задач о кручении многослойного стержня с поперечным сечением сложной формы в [2, 3] материал стержня представляется в виде однородного анизотропного тела с «эффективными» по всему поперечному сечению механическими характеристиками. При этом, не учитывается слоистая структура материала стержня, не позволяя, тем самым, оценить влияние на характеристики деформирования при кручении месторасположения слоя с теми или иными свойствами. Интегральные характеристики не позволяют сформулировать и решить задачу о выборе оптимальной структуры сечения, обеспечивающей, например, ему наибольшую жёсткость на кручение. Формулировка задач об определении н.д.с. цилиндрических стержней, работающих на кручение, весьма мало отличается друг от друга [1–3]. Тем не менее в литературе трудно отыскать решения и формулировки этих задач для слоистых анизотропных стержней произвольного сечения. Поэтому в работе рассматривается общая постановка задачи о кручении составных анизотропных стержней произвольного поперечного сечения.

2. Постановка задачи

Пусть дано постоянное по длине поперечное сечение составного стержня, образованного из N слоев R_1, R_2, \dots, R_N , которым соответствуют различные упругие постоянные C_{44}^i и C_{55}^i ($i = 1, 2, \dots, N$). Боковая поверхность стержня свободна от нагрузки [4]

$$X_\nu = Y_\nu = Z_\nu = 0, \quad (1)$$

а нагрузка, действующая по торцам, статически эквивалентна крутящему моменту M_t . Обозначим через L внешний контур всего сечения, L_i — контуры слоя R_i и L_{ij} линия раздела между слоями R_i и R_j . Линия раздела смежных слоев L_{ij}

внутри сечения или пересекает внешний контур L под углом, не равным нулю (рис. 1). В этом случае граничные условия на боковой поверхности запишутся в виде [4]

$$\sigma_{11}l_1 + \sigma_{12}l_2 = X_\nu, \quad \sigma_{12}l_1 + \sigma_{22}l_2 = Y_\nu, \quad \sigma_{13}l_1 + \sigma_{23}l_2 = Z_\nu, \quad (2)$$

и на торцевых поверхностях [4]

$$\begin{aligned} \iint_F \sigma_{33} df = P, \quad \iint_F x\sigma_{33} df = -M_1, \quad \iint_F y\sigma_{33} df = M_2, \\ \iint_F \sigma_{13} df = 0, \quad \iint_F \sigma_{23} df = 0, \quad \iint_F (x\sigma_{23} - y\sigma_{13}) df = M_t, \end{aligned} \quad (3)$$

где P, M_1, M_2, M_t — силы и моменты, действующие в поперечном сечении стержня, $l_1 = \cos(\mathbf{v}, x), l_2 = \cos(\mathbf{v}, y)$ — направляющие косинусы.

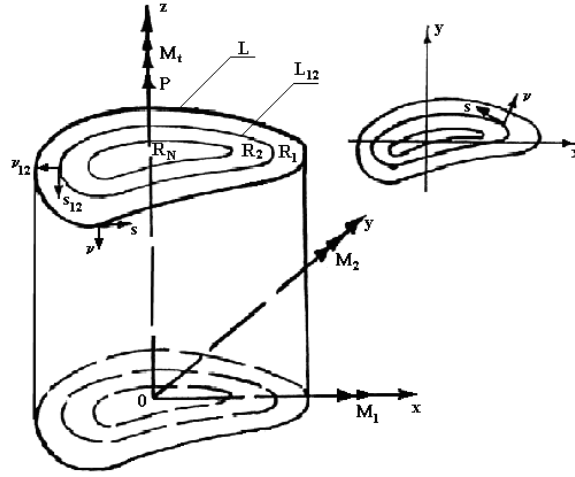


Рис. 1. Цилиндрический стержень

Для решения задачи, описываемой уравнениями [5]

$$\sigma_{mn}^i = C_{mnri}^i \varepsilon_{kj}^j + \beta_{mn}^i T^i, \quad (m, n, k, j = 1, \dots, 6) \quad (4)$$

с граничными условиями (1)–(3), используется полуобратный метод Сен-Венана [4].

Исходя из граничных условий (1) предполагается, что в слоистом стержне качественная картина распределения напряжений не отличается от картины в случае однородного тела, т. е. из шести компонент тензора напряжений σ_{kj}^i ($k, j = 1, 2, 3$), входящих в выражение (4), по-прежнему только две не равны нулю в любой точке сечения стержня — σ_{xz}^i и σ_{yz}^i . Тогда уравнения равновесия для слоя i запишутся в виде [6]

$$\begin{aligned} \frac{\partial^2 W^i}{\partial x^2} + \frac{C_{44}^i}{C_{55}^i} \frac{\partial^2 W^i}{\partial y^2} = Z_3^i(x, y), \\ Z_3^i(x, y) = \frac{2C_{35}^i a_{33}^i}{C_{55}^i J_1^i} M_1 - \frac{2C_{15}^i}{C_{55}^i} \frac{\partial^2 U^i}{\partial x^2} - \frac{2C_{46}^i}{C_{55}^i} \frac{\partial^2 U^i}{\partial y^2} - \frac{C_{46}^i + 2C_{32}^i}{C_{55}^i} \frac{\partial^2 V^i}{\partial x \partial y}. \end{aligned} \quad (5)$$

Разница между уравнениями (5) и уравнениями для однородного тела с такой же упругой симметрией заключается в том, что в (5) параметры жёсткости C_{44}^i и C_{55}^i — для каждого слоя i имеют различные значения, тогда как у однородного тела они постоянны. Поэтому при переходе от слоя к слою скачком могут изменяться отдельные компоненты тензоров деформации и напряжений.

Таким образом, задача о кручении анизотропных составных стержней сводится к задаче определения N функции $W^i(x, y)$, удовлетворяющих внутри R_i уравнениям (5) и условиям на боковой поверхности [6]

$$\frac{\partial W^i}{\partial x} l_1 + \frac{C_{44}^i}{2C_{55}^i} \frac{\partial W^i}{\partial y} l_2 = Z_\nu^*, \quad (6)$$

$$Z_\nu^* = \frac{1}{C_{55}^i} \left[Z_\nu - C_{35}^i M_z^i l_1 - 0,5(C_{55}^i y l_1 - C_{44}^i x l_2) \tau - \right. \\ \left. - \left(C_{15}^i \frac{\partial U^i}{\partial x} l_1 + \frac{C_{46}^i}{2} \frac{\partial U^i}{\partial x} l_2 \right) - \left(C_{25}^i \frac{\partial V^i}{\partial y} l_1 + \frac{C_{46}^i}{2} \frac{\partial V^i}{\partial x} l_2 \right) - \beta_{13}^i l_1 T^i \right]$$

и линиях раздела слоев [6]

$$U^k = U^j, \quad V^k = V^j, \quad W^k = W^j. \quad (7)$$

Сравнивая методы решения задачи кручения в напряжениях [1, 2] и в перемещениях [3], следует заметить, что оба метода обладают достоинствами и недостатками. Введение функции напряжений $U(x, y)$ приводит к неоднородному дифференциальному уравнению в частных производных, решение которого представляет большие трудности, в частности, для нерегулярных слоистых сечений, чем решение однородного уравнения, к которому сводится задача при решении в перемещениях. Граничные условия проще записываются через функцию напряжений. Кроме того, с помощью результатов, полученных для слоистых стержней, составленных из изотропных материалов, легче построить решение в напряжениях для регулярных сечений с изотропными слоями, чем в перемещениях. Однако решение в перемещениях для неоднородных анизотропных стержней нерегулярного сечения выгодно отличается от решения в напряжениях, в связи с простым условием на линиях раздела анизотропных слоев.

Решение задачи о кручении составных стержней с помощью функции кручения приведены в работах [1, 2, 7], а при применении функции напряжений получило отражение в обширной библиографии, приведённой в работах [1, 8].

Имеется довольно много приближённых методов решения задачи о кручении анизотропных слоистых стержней с поперечным сечением произвольной формы (МКЭ, метод сеток, метод малого параметра, энергетический метод, и др.). Однако для доказательства достоверности результатов, полученных приближёнными методами решения задачи о кручении анизотропных слоистых стержней, следует сопоставить их с точными решениями для регулярных многослойных сечений (в частности, с изотропными или ортотропными слоями) или с экспериментальными результатами. Поэтому в работе более подробно рассматриваются и обсуждаются результаты решения задачи о кручении многослойного стержня прямоугольного сечения, составленного из ортотропных материалов.

Аналитическое решение задачи о кручении призматического стержня прямоугольного сечения, составленного из различных ортотропных слоев, имеющих одинаковую ширину и удовлетворяющих условию непрерывности перемещений u^i, v^i, w^i и касательного напряжения σ_{yz}^i (рис. 2) при переходе от слоя к слою, было получено Лехницким С.Г. [7]. В этой задаче сначала напряжения в каждом слое i выражаются через контактные усилия. В свою очередь, контактные усилия определяются из условия непрерывности перемещения w^i при переходе от слоя к слою. При этом решается вспомогательная задача о равновесии стержня прямоугольного сечения, деформируемого касательными усилиями. В этом случае

касательные напряжения σ_{yz}^i на двух поверхностях слоя i не равны нулю, а задаются в виде тригонометрических рядов с неопределёнными коэффициентами. Коэффициенты определяются из условий (7) на поверхностях контакта. В результате для определения трёх коэффициентов усилий, получается рекуррентная система уравнений. Для N -слойного стержня, составленного из ортотропных материалов, при определении контактных усилий решается система алгебраических уравнений $N - 1$ порядка.

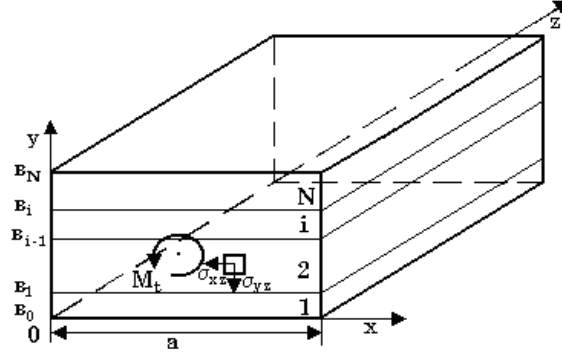


Рис. 2. Слоистый стержень прямоугольного сечения

В [7] касательные напряжения σ_{xz}^i , σ_{yz}^i , функция кручения $\varphi^i(x, y)$ в слое i определяются из соотношений

$$\sigma_{xz}^i = \sum_{k=1,3}^{\infty} \left[\frac{8C_{44}^i a \tau}{k^2 \pi^2} B_{ki} B_{ki}^* \right] \cos \frac{k\pi x}{a}, \quad (8)$$

$$\sigma_{yz}^i = \sum_{k=1,3}^{\infty} \left[\frac{8f_i a \tau}{k^2 \pi^2} (A_{ki} + 1) + \mu_i A_{ki}^* \right] \sin \frac{k\pi x}{a}, \quad (9)$$

$$\varphi^i(x, y) = - \sum_{k=1,3}^{\infty} \left[\frac{8a^2}{k^3 \pi^3 \mu_i} A_{ki} + \frac{a}{k\pi f_i \tau} A_{ki}^* \right] \cos \frac{k\pi x}{a}. \quad (10)$$

Здесь $h = b_i - b_{i-1}$ — толщина, C_{44}^i , C_{55}^i — модули сдвига i -го слоя в плоскости yz и xz соответственно (см. рис. 2), b_i — расстояние от оси x до линии раздела слоев с номерами $i - 1$ и i ; a — ширина стержня; τ — относительный угол закручивания на единицу длины стержня. Кроме того,

$$\begin{aligned} \beta_{i,k} &= \frac{k\pi h_i}{a} \mu_i, \quad \mu_i^2 = \frac{C_{44}^i}{C_{55}^i}, \quad f_i^2 = C_{44}^i C_{55}^i, \\ A_{ki} &= \frac{1}{\text{sh } \beta_{i,k}} \left[\text{ch } \frac{k\pi}{a} \mu_i (y - b_i) - \text{ch } \frac{k\pi}{a} \mu_i (y - b_{i-1}) \right], \\ B_{ki} &= \frac{1}{\text{sh } \beta_{i,k}} \left[\text{sh } \frac{k\pi}{a} \mu_i (y - b_i) - \text{sh } \frac{k\pi}{a} \mu_i (y - b_{i-1}) \right], \\ A_{ki}^* &= \frac{1}{\text{sh } \beta_{i,k}} \left[\tau_{i-1,k} \text{ch } \frac{k\pi}{a} \mu_i (y - b_i) - \tau_{i,k} \text{ch } \frac{k\pi}{a} \mu_i (y - b_{i-1}) \right], \\ B_{ki}^* &= \frac{1}{\text{sh } \beta_{i,k}} \left[\tau_{i-1,k} \text{sh } \frac{k\pi}{a} \mu_i (y - b_i) - \tau_{i,k} \text{sh } \frac{k\pi}{a} \mu_i (y - b_{i-1}) \right]. \end{aligned} \quad (11)$$

В выражения (11) входят параметры жёсткости C_{mn}^i , определяющиеся по формулам [4]:

$$\begin{aligned} C_{kj}^i &= (-1)^{j+k} \Delta_{kj} / \Delta, \quad (j, k = 1, 2, 3), \quad C_{kj}^i = a_{kj}^i / \Delta_*, \quad (j, k = 4, 6), \\ C_{k5}^i &= -a_{k5}^i C_{kj}^i / a_{55}^i, \quad C_{55}^i = (1 - a_{k5}^i C_{k5}^i) / a_{55}^i, \\ \Delta &= \begin{vmatrix} \gamma_{11}^i & \gamma_{12}^i & \gamma_{13}^i \\ \gamma_{12}^i & \gamma_{22}^i & \gamma_{23}^i \\ \gamma_{13}^i & \gamma_{23}^i & \gamma_{33}^i \end{vmatrix}, \quad \Delta_* = \begin{vmatrix} a_{66}^i & a_{46}^i \\ a_{46}^i & a_{44}^i \end{vmatrix}. \end{aligned} \quad (12)$$

В определителе $\Delta - \gamma_{kj}^i = a_{kj}^i - a_{k5}^i a_{j5}^i / a_{55}^i$ ($k, j = 1, 2, 3$); Δ_{kj} — миноры определителя Δ по элементам γ_{kj}^i . Параметры упругости C_{kj}^i изотропного материала i -го слоя определяются через технические постоянные формулами

$$\begin{aligned} C_{11}^i &= H \cdot E_1^i (1 - \mathbf{v}_{32}^i \mathbf{v}_{23}^i), \quad C_{22}^i = H \cdot E_2^i (1 - \mathbf{v}_{13}^i \mathbf{v}_{31}^i), \\ C_{33}^i &= H \cdot E_3^i (1 - \mathbf{v}_{12}^i \mathbf{v}_{21}^i), \quad C_{23}^i = H \cdot E_3^i (\mathbf{v}_{23}^i - \mathbf{v}_{21}^i \mathbf{v}_{13}^i), \\ C_{13}^i &= H \cdot E_1^i (\mathbf{v}_{13}^i - \mathbf{v}_{12}^i \mathbf{v}_{23}^i), \quad C_{12}^i = H \cdot E_1^i (\mathbf{v}_{12}^i + \mathbf{v}_{32}^i \mathbf{v}_{13}^i), \\ C_{44}^i &= G_{23}^i, \quad C_{55}^i = G_{13}^i, \quad C_{66}^i = G_{12}^i, \\ H &= (1 - \mathbf{v}_{12}^i \mathbf{v}_{21}^i - \mathbf{v}_{13}^i \mathbf{v}_{31}^i - \mathbf{v}_{23}^i \mathbf{v}_{32}^i - 2\mathbf{v}_{12}^i \mathbf{v}_{23}^i \mathbf{v}_{31}^i)^{-1}. \end{aligned} \quad (13)$$

Контактные усилия между слоями $\tau_{i,k}$ находятся из решения системы $N - 1$ алгебраических уравнений

$$f_{i-1} \operatorname{sh} \beta_{i-1,k} \tau_{i,k} + s_{ik} \tau_{i-1,k} + f_i \operatorname{sh} \beta_{i,k} \tau_{i-2,k} = s_{ik}^*, \quad (14)$$

где $i = 2, 3, \dots, N$; $k = 1, 3, \dots$; $\tau_{0,k} = \tau_{N,k} = 0$;

$$s_{ik} = -(f_{i-1} \operatorname{sh} \beta_{i-1,k} \operatorname{ch} \beta_{i,k} + f_i \operatorname{sh} \beta_{i,k} \tilde{n} h \beta_{i-1,k});$$

$$s_{ik}^* = -\frac{8a\tau}{\pi^2 k^2} C_{44}^i C_{55}^i [\mu_i \operatorname{sh} \beta_{i,k} (\operatorname{ch} \beta_{i-1,k} - 1) + \mu_{i-1} \operatorname{sh} \beta_{i-1,k} (\tilde{n} h \beta_{i,k} - 1)].$$

Определение касательных напряжений σ_{xz}^i и σ_{yz}^i , а также функции кручения $\varphi^i(x, y)$ и жёсткости на кручение C каждого слоя i и всего сечения в целом требует решения подобной системы алгебраических уравнений (14). Например, в [1, 2, 9] решается система из $2N$ алгебраических уравнений ($i = 1, 2, \dots, N$). В этой связи в [1, 2, 9] приближённые оценки значений распределения касательных напряжений $\sigma_{xz}^i, \sigma_{yz}^i$ приведены для сечения только с тремя чередующимися изотропными слоями. Это означает, что не достаточно подробно изучены особенности распределения касательных напряжений и перемещений в сечениях многослойных стержней.

На основе соотношений (8)–(14) впервые была составлена программа расчёта на алгоритмическом языке Фортран и на её основе исследовались распределения касательных напряжений, перемещений в многослойных стержнях прямоугольного сечения, составленных из изотропных и ортотропных материалов. Следует отметить, что значения A_{ki}^*, B_{ki}^* из уравнения (8)–(11) зависят от значения контактных усилий, которые предварительно определяются из решения системы уравнений (14).

3. Особенности напряжённо-деформированного состояния (н.д.с.) многослойных стержней с изотропными слоями

На основе описанной выше программы были проведены исследования распределения касательных напряжений, перемещений и определены жёсткости на кручение многослойных стержней прямоугольного сечения со сторонами $a = 120$ мм,

$h = 20$ мм. Изотропные слои, изготовленные из мягкого материала А типа эпоксидной смолы ($C_{44}^i = C_{55}^i = G_A = 1,1$ ГПа, зачернённые на рисунках слои) и жёсткого материала Б типа стали ($C_{44}^i = C_{55}^i = G_B = 78,74$ ГПа, светлые слои), чередовались. Каждый слой имеет свою постоянную толщину, подобранную таким образом, что относительное объёмное содержание материала А из эпоксидной смолы в обсуждаемых здесь результатах соответствовало $\nu_A = 0,3$. Ввиду симметрии изучаемого напряжённого и деформированного состояния на рисунках изображена лишь четверть сечения стержня.

На рис. 3–4 приведены результаты расчётов для трёхслойных стержней в случаях, когда мягкий слой находится внутри (случай а) и снаружи (случай б) сечения.

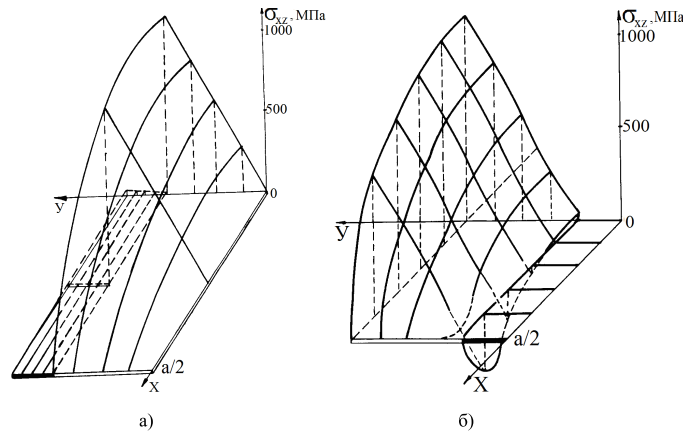


Рис. 3. Распределение касательных напряжений σ_{xz} в сечении трёхслойного стержня с мягким (случай а) и жёстким (случай б) наружными слоями

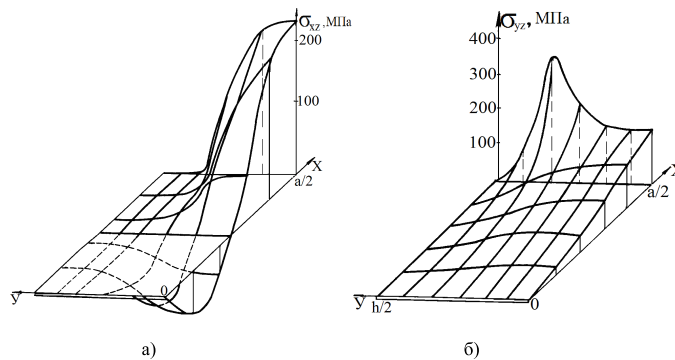


Рис. 4. Распределение касательных напряжений σ_{yz} в сечении трёхслойного стержня с мягким (случай а) и жёстким (случай б) наружными слоями

Результаты расчётов показывают, что касательные напряжения σ_{xz}^i при переходе от слоя к слою претерпевают разрыв первого рода. При переходе от слоя к слою значения разрыва увеличиваются или уменьшаются пропорционально отношению модулей $G_A^i/G_B^{i+1} < 1$ или $G_A^i/G_B^{i+1} > 1$ (рис. 3). При более жёстких наружных слоях наибольшие напряжения σ_{xz}^i достигаются на серединах длинных сторон внешнего контура (рис. 3,а). При менее жёстких наружных слоях наибольшие значения получаются в точках соприкосновения слоев на середине длинных сторон прямоугольника (рис. 3,б). Для стержня с жёсткими наружными слоями (рис. 4,а) наибольшие значения напряжений σ_{yz}^i реализуются на серединах

жёсткого слоя коротких сторон внешнего контура, а при менее жёстких наружных слоях наблюдается неравномерное распределение по сечению (рис. 4,б). При более жёстких наружных слоях осевые перемещения w^i достигают наибольших значений на контуре (рис. 5,а), а при менее жёстких наружных слоях её значения как на контуре, так и во внутренних точках сечения увеличиваются (рис. 5,б).

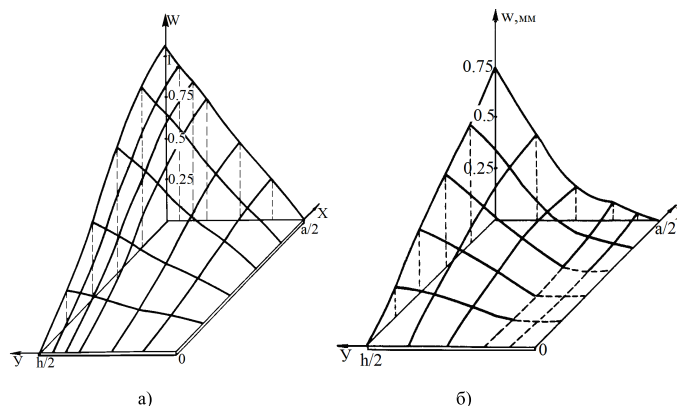


Рис. 5. Распределение осевых перемещений в сечении трёхслойного стержня с жёстким (случай б) и мягким (случай а) наружными слоями

Качественная картина распределения касательных напряжений и осевых перемещений находится в соответствии с общими представлениями о кручении изотропных стержней прямоугольного сечения [4]. Однако, если учесть незначительность модуля мягкого слоя, то в этих слоях градиенты напряжений (рис. 4,а) являются довольно большими. С изменением положения мягких и жёстких слоев характер распределения, а также величины касательных напряжений и осевых перемещений изменяются.

Характер распределения величин касательных напряжений $\sigma_{xz}^i, \sigma_{yz}^i$ и осевых перемещений w^i по сечению 39-й слойной стержня с более жёстким наружным слоем незначительно отличается от их распределения в стержне с менее жёстким наружным слоем. Однако здесь более наглядно демонстрируется скачкообразное изменение касательных напряжений σ_{xz}^i при переходе от слоя к слою (см. рис. 6).

Из-за непрерывности касательных напряжений σ_{yz}^i и осевых перемещений w^i при переходе от слоя к слою и малой толщины мягких слоев в многослойных стержнях уровень напряжений σ_{yz}^i и значение перемещений w^i в этих слоях достаточно высок (рис. 7, 8). Это может привести к тому, что мягкие слои с относительно низкой прочностью на сдвиг достаточно быстро (уже при малых углах относительного угла закручивания τ) достигают предельных состояний или пластических деформаций. Жёсткость мягких слоев при этом уменьшается и эффект разрыва градиентов напряжений σ_{yz}^i и значений w^i усиливается.

4. Особенности н.д.с. многослойного стержня с ортотропными слоями

На основе разработанной программы проведены исследования распределения касательных напряжений, перемещений в многослойных стержнях прямоугольного сечения со сторонами $a = 120$ мм, $h = 20$ мм. Изотропные слои изготовлены из материала А типа алюминия ($C_{44}^{ii} = C_{55}^{ii} = G_A = 26,31$ ГПа, зачернённые на рисунках слои), а ортотропные слои — из композиционных материалов В (упругие свойства, которых приведены в [10] табл. 1, заштрихованные на рисунках слои). Каждый слой имеет свою постоянную толщину, подобранную

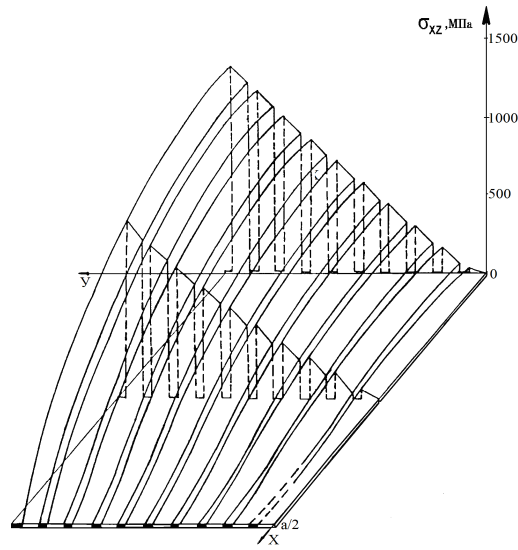


Рис. 6. Распределение касательных напряжений σ_{xz} в сечении 39-й слойного стержня мягким наружными слоями

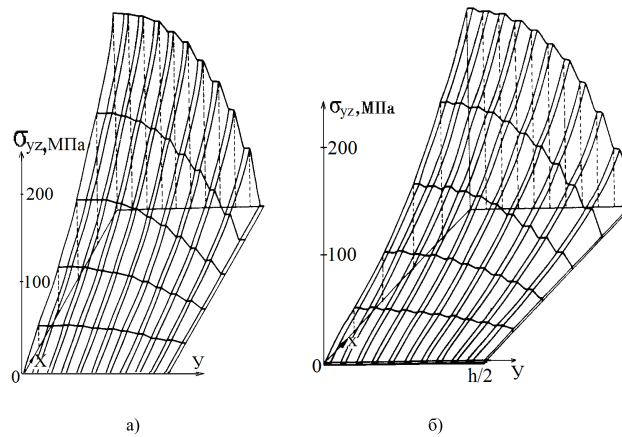


Рис. 7. Распределение касательных напряжений σ_{yz} в сечении 39-й слойного стержня с жёстким (случай б) и мягким (случай а) наружными слоями

таким образом, что относительное объёмное содержание материала матрицы А из алюминия в обсуждаемых результатах соответствовало $\nu = 0,2$. Ввиду симметрии напряжённо-деформированного состояния на рисунках изображена лишь четверть прямоугольного сечения стержня.

На рис. 9 приведены результаты расчётов касательных напряжений и перемещений в виде поверхностей для трёхслойных стержней в случаях, когда слой из материала А находится внутри (случай а) и снаружи (случай б) сечения. Качественная картина распределения касательных напряжений находится в соответствии с представлениями о кручении слоистых стержней прямоугольного сечения, составленных из изотропных материалов (см. пункт 1).

Результаты расчётов показывают, что с изменением положения слоев из материала А и Б характер распределения, а также величины касательных напряжений σ_{xz}^i , σ_{yz}^i и осевых перемещений w^i изменяются незначительно в связи с малым отличием значений модулей сдвига материалов слоев G_A и G_B (рис. 9).

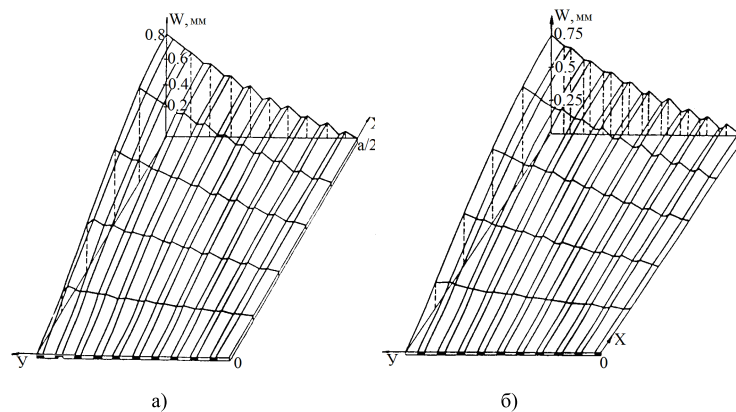


Рис. 8. Распределение осевых перемещений в сечении 39-и слойного стержня с жёстким (случай б) и мягким (случай а) наружными слоями

Таблица 1
Упругие постоянные некоторых типов композиционных материалов

Свойства	Материалы					
	углепластик	CAL	BAL	CFRP	GFRP	ГЖ-07 и ЭТД-13
E_1 , ГПа	15,7	27	104	30	4	29,3
E_2 , ГПа	15,7	427	104	30	4	18,3
E_3 , ГПа	112,5	300	213	140	20	35,9
G_{12} , ГПа	3,3	103,85	32,6	11,28	1,52	6,29
G_{13} , ГПа	5,3	21,6	25,4	9,38	1,37	7,62
G_{23} , ГПа	5,3	21,6	26,1	9,38	1,37	6,64
ν_{13}	0,48	0,03	0,529	0,33	0,33	0,371
ν_{23}	0,03	0,18	0,226	0,3	0,3	0,144
ν_{12}	0,03	0,18	0,226	0,3	0,3	0,157

На рис. 10–11 приведены распределения величин касательных напряжений по сечению 29-й слойного стержня. Здесь более наглядно демонстрируется скачкообразное изменение касательных напряжений σ_{xz}^i при переходе от слоя к слою (рис. 10). Из-за малой толщины слоев из материала матрицы А в многослойных стержнях уровни напряжений σ_{yz}^i в этих слоях большие (рис. 10, 11), что может привести слои из материала с относительно низкой прочностью на сдвиг к предельному состоянию или пластическим деформациям. Поэтому для уменьшения градиентов касательных напряжений σ_{yz}^i и значений осевых перемещений w^i в слое с малой толщиной необходимо для этих слоев подбирать материалы со свойствами более прочными на сдвиг.

На рис. 12 приведены результаты расчётов для трёхслойного стержня, когда наружные слои из материала Б армированы под углом $\pm 45^\circ$ (случай а) относительно центра кручения. Результаты расчётов показывают, что с изменением положения слоев из материала Б характер распределения, а также величины касательных напряжений σ_{xz}^i , σ_{yz}^i изменяются (рис. 12). В связи с тем, что отношение модулей сдвига G_A^i/G_B^{i+1} значительно и из-за малой толщины слоя из материала матрицы А в этих слоях, значения касательных напряжений σ_{xz}^i (рис. 13,б) и

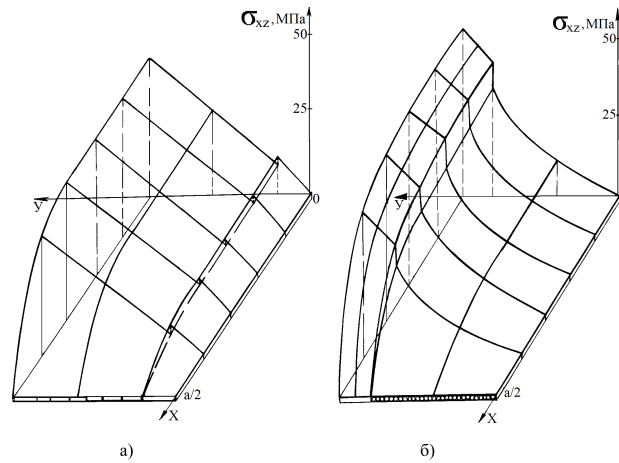


Рис. 9. Распределение касательных напряжений σ_{xz} в сечении трёхслойного стержня с ортотропными (случай а) и изотропными (случай б) наружными слоями

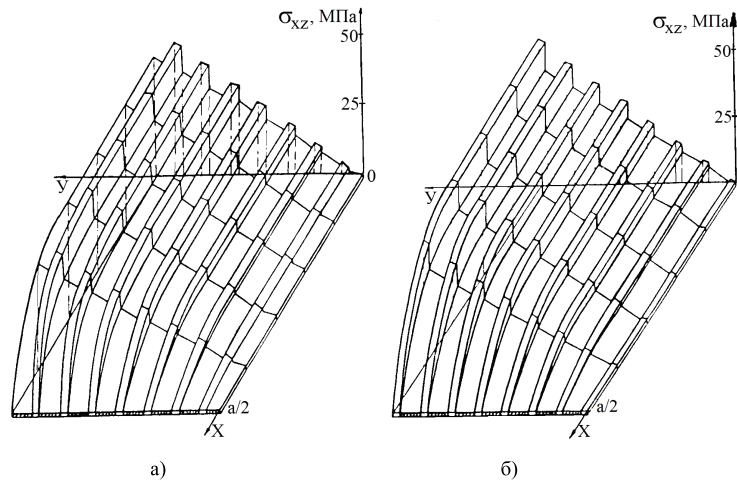


Рис. 10. Распределение касательных напряжений σ_{xz} в сечении 29-й слойного стержня с ортотропными (случай а) и изотропными (случай б) наружными слоями

σ_{yz}^i достаточно высоки в сравнении со случаем (рис. 9,б), когда угол армирования слоя из материала Б был равным нулю ($\psi^i = 0$). Для того, чтобы не было предельных состояний или пластических деформаций в этих слоях, необходимо чередующиеся слои из материала Б армировать под углом ψ^i так, чтобы отношение G_A^i/G_B^{i+1} было не столь большим.

На рис. 13–14 приведены распределения касательных напряжений $\sigma_{xz}^i, \sigma_{yz}^i$ для 29-и слойного стержня, когда слои из материала Б армированы под углом $\pm 45^\circ, \pm 30^\circ, \pm 15^\circ, 0^\circ$ относительно центра кручения (случай а, когда наружные слои из материала Б, и случай б, когда наружные слои из материала А). С изменением положение слоев из армированного материала Б характер распределения касательных напряжений $\sigma_{xz}^i, \sigma_{yz}^i$ (рис. 13, 14) изменяется.

Здесь скачкообразное изменение касательных напряжений σ_{xz}^i при переходе от слоя к слою существенно в слоях, армированных под углом $\pm 45^\circ$ и $\pm 30^\circ$ (рис. 14). Поэтому в слоях из материала, чередующегося со слоями, армированными под углами $\psi^i = \pm 45^\circ$ и $\psi^i = \pm 30^\circ$, достигается предельное состояние или возникают

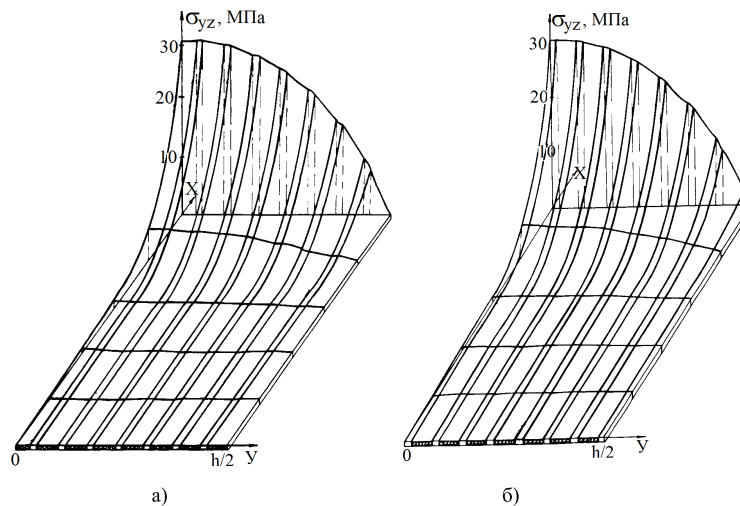


Рис. 11. Распределение касательных напряжений σ_{yz} в сечении 29-й слойного стержня с ортотропными (случай а) и изотропными (случай б) наружными слоями

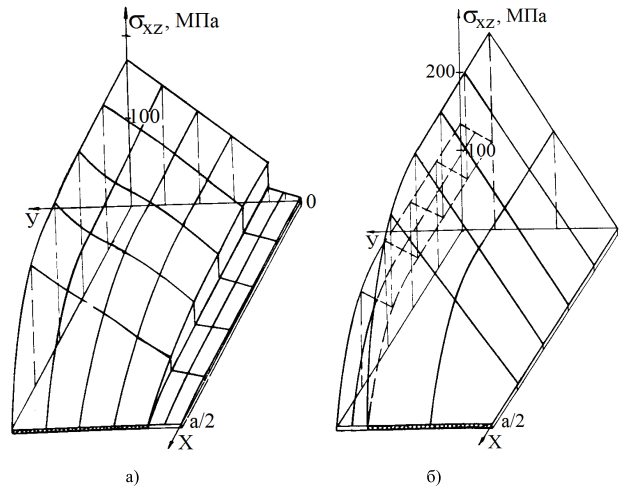


Рис. 12. Распределение касательных напряжений σ_{xz} в сечении трёхслойного стержня с ортотропными (угол армирования $\pm 45^\circ$, случай а) и изотропными (случай б) наружными слоями

пластические деформации ($\tau = 0,001$). Из-за непрерывности касательных напряжений σ_{yz}^i при переходе от слоя к слою и малой толщины слоя из материала А, чередующегося с армированными слоями под углом $\pm 45^\circ$, $\pm 30^\circ$, градиенты напряжений σ_{yz}^i в этих слоях велики.

5. Выводы

Из-за непрерывности касательных напряжений σ_{yz}^i и осевых перемещений w^i при переходе от слоя к слою и малой толщины мягких слоев в многослойных стержнях мягкие слои с относительно низкой прочностью на сдвиг достаточно быстро (уже при малых углах относительного угла закручивания τ) достигают предельных состояний или пластических деформаций, и жёсткость мягких слоев при этом уменьшается, а эффект разрыва градиентов напряжений σ_{yz}^i и значений

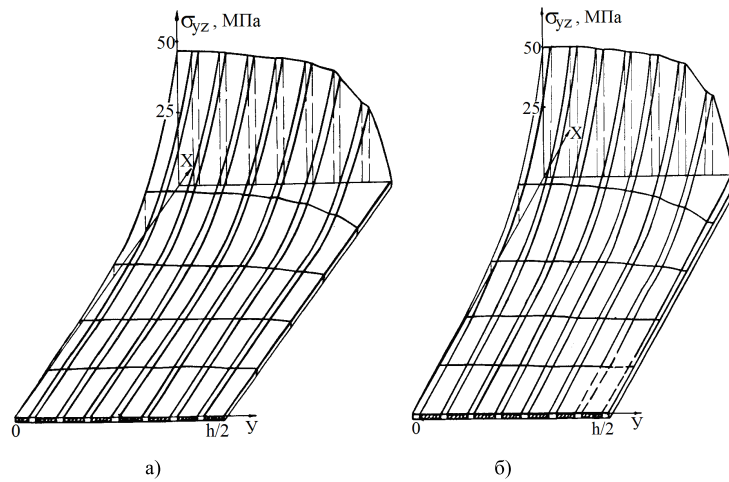


Рис. 13. Распределение касательных напряжений σ_{yz} в сечении 29-й слойного стержня с ортотропными (угол армирования $\pm 45^\circ$, $\pm 30^\circ$, $\pm 15^\circ$, 0° , случай а) и изотропными (случай б) наружными слоями

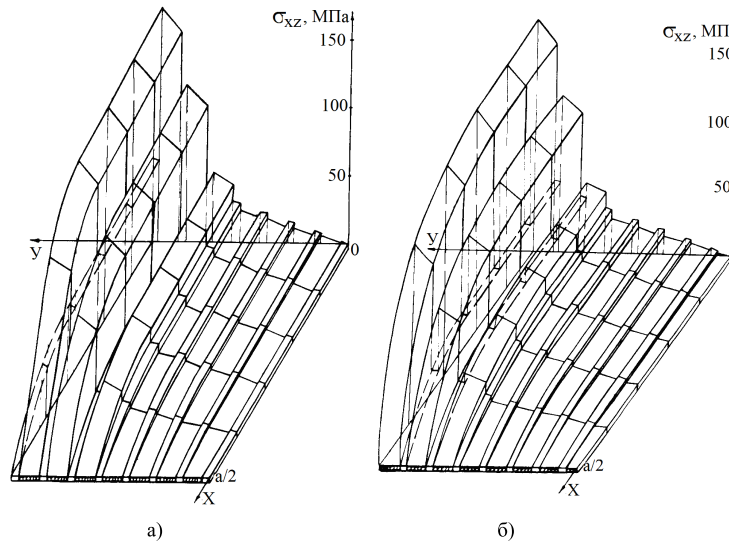


Рис. 14. Распределение касательных напряжений σ_{xz} в сечении 29-й слойного стержня с ортотропными (угол армирования $\pm 45^\circ$, $\pm 30^\circ$, $\pm 15^\circ$, 0° , случай а) и изотропными (случай б) наружными слоями

w^i усиливается. Для того, чтобы не было предельных состояний или пластических деформаций в этих слоях, необходимо чередующиеся слои из материала Б армировать под углом ψ^i так, чтобы отношение G_A^i/G_B^{i+1} было не столь большим. Для уменьшения градиентов касательных напряжений σ_{yz}^i и значений осевых перемещений w^i в слое с малой толщиной необходимо подбирать материалы со свойствами более прочными на сдвиг.

Чтобы заметно уменьшить градиенты касательных напряжений в слоях из материала матрицы А, чередующихся со слоями, армированными под углами $\pm 45^\circ$, $\pm 30^\circ$, для этих слоев необходимо подобрать материалы, модули сдвига которых близки по значению с модулями сдвига материала Б, армированного под определенным углом ψ^i .

Исследование особенности распределения напряжений и перемещений в отдельных слоях стержня позволяет оценить работоспособность слоистой конструкции при кручении.

Литература

1. Арутюнян Н. Х., Абрамян Б. Л. Кручение упругих тел. — М.: Физматгиз, 1963. — 636 с.
2. Саркисян В. С. Некоторые задачи теории упругости анизотропного тела. — Ереван: Изд. Ер.ГУ, 1970. — 443 с.
3. Лехницкий С. Т. Кручение анизотропных и неоднородных стержней. — М.: Наука, 1971. — 240 с.
4. Сен-Венан Б. Мемуары о кручении призм. Мемуары об изгибе призм. — М.: Мир, 1961. — 530 с.
5. Нуримбетов А. У. Особенности деформирования естественно-закрученных многослойных анизотропных стержней // Механика и моделирование процессов технологии. — 2000. — № 1. — С. 92–97.
6. Нуримбетов А. У. Решение задачи обобщенного кручения многослойных стержней, составленных из анизотропных материалов // Механика и моделирование процессов технологии. — 2002. — № 1. — С. 3–25.
7. Лехницкий С. Т. Кручение многослойного стержня прямоугольного сечения // Инженерный сборник. — 1956. — Т. XXIII. — С. 63–76.
8. Чудаев Я. Ф. Приближённый метод расчета призматических стержней на кручение. — Новокузнецк, 1975. — 244 с.
9. Дехтярь Л. И., Шпигель Б. М. Упрощение расчета на кручение неоднородных стержней прямоугольного сечения // Изв. АН Молд.ССР, сер. Физ.-тех. мат. — 1984. — № 9. — С. 71–72.
10. Лехницкий С. Т. Теория упругости анизотропного тела. — М.: Наука, 1975. — 415 с.

UDC 539.9

Torsion of a Multilayer Prismatic an Anisotropic Rod of Rectangular Cut, Composed from Orthotropic Materials

A. U. Nurimbetov

*Mechanics of machines and mechanisms Department
«MATI» — the Russian state technological university of K.E.Tsiolkovsky
3, Orshansky str., Moscow, 117513, Russia*

Properties of distribution of pressure and displacements is carried out for separate layers of a multilayered anisotropic rod. Efficiency of a layered design under the torsion can be estimated through the received results.

Key words and phrases: torsion, anisotropic orthotropic layered rod.